コンクリートを部分充填した円形鋼製橋脚の実験

ヤマト設計(株)正会員 折野 明宏* 東京電機大学 正会員 井浦 雅司**

1. はじめに

鋼製橋脚の塑性率を向上させる方法として,橋脚内部にコンクリートを部分的に充填する方法が挙げられる 矩形断面橋脚においては,これまで多くの実験結果が報告さてれている.一方,円形鋼製橋脚においては,文献1),2),3)で報告されているものの,それほど多くの実験は報告されていない,本報告では,追加実験の結果と,コンクリート部分充填円形鋼製橋脚の最大耐力を推定する方法,さらに,コンクリートの最適充填率を求める方法を提案する.

2. 実験概要

本実験で使用した供試体と実験方法について説明する.なお,実験装置については,文献1)を参照されたい.供試体は鋼製橋脚をモデル化したものであり,表 1に材料特性と載荷方法について示す.今回の追加実験は供試体No.4シリーズであり,No.1からNo.3シリーズについては過去に報告している.なお,表中の は橋脚基部から載荷点までの長さ(1750mm)を基準としたコンクリート充填率である.コンクリートの材齢28日における材料特性は,テストピー

スを作成し,圧縮試験および割裂試験を行ない算出した.この結果も表-1に併せて載せている.軸力として,コンクリートを考慮しない全断面塑性軸力の15%を常時作用させており,横力は降伏変位 ₉を基準とした正負交番漸増1回繰り返し載荷,3回繰り返し,載荷単調載荷とした.

3.追加実験結果

供試体No.4シリーズでは,載荷方法を1回繰り返し,3回繰り返し,載荷単調載荷としている.供試体No.4-1は,鋼管の局部座屈がコンクリート上面(ダイヤフラム設置位置)に発生し,一方,コンクリートのクラックが基部付近に,コンクリートの引張応力部分で発生していた。このように,鋼管の座屈発生位置と,コンクリートのクラック発生位置が異なるのが,単調載荷実験の特徴である.

供試体No.4-2は ,コンクリート充填部にダイヤフラムを設置した 鋼管の局部座屈も ,コンクリートのクラックも ,このダイヤフラム直上で発生した.

供試体No.4-3は,3回繰り返し載荷実験を行っており 鋼管の局部座屈もコンクリートのクラックも

供試体	鋼管の形状・材料特性				コンクリート材料特性		実験方法			
	半径	板厚	у		圧縮強度	引張強度	ダイヤフラム	軸力	充填率	載荷方法
No.	R (cm)	t (cm)	(KN/cm ²)		(KN/cm ²)	(KN/cm ²)	添付位置(cm)	N(KN)	(%)	
0-1	25.48	0.435	28.812	0.277	-	-	-	298.408	-	1回繰
1-1									14	
1-2	22.54	0.437	30.245	0.283	1.258	0.113	30	278.110	30	1回繰
1-3									49	
2-1									9	
2-2	25.07	0.576	28.714	0.278	2.245	0.221	_	386.483	17	1回繰
2-3	23.07	0.370	20.714	0.278	2.243	0.221	-	360.463	28	- 1 四派
2-4									48	
3-1	25.07	0.577	31.246	0.287	2.263	0.169	30	421.187	17	1回繰
3-2							-		28	単調
3-3	20.00						61	335.059	34	1回繰
3-4							-		34	
4-1	25.00						49	373.747	28	単調
4-2	20.00	0.573	28.028	0.285	2.538	0.222	22	298.132	34	1回繰
4-3	20.00						61	270.132	34	3回繰

表 -1 供試体材料特性と実験方法

Keyworsd: concrete-filled tubular steel column, ultimate strength, local buckling

^{* 〒 103-0025} 東京都中央区日本橋茅場町 2-16-12 力丸ビル ** 〒

^{** 〒 350-0394} 埼玉県比企郡鳩山

基部周辺で発生した.

4. 最大耐力推定方法

ここでは,以下のパラメータを用いて鋼製橋脚の 最大耐力を推定する.

$$M^{*} = \frac{P_{\text{max}} L_{0}}{Et_{0}^{3} \sqrt{1 - n_{j}}}$$

$$Z^{*} = \frac{Z \sigma_{y} \sqrt{1 - n_{j}}}{Et_{0}^{3}}$$

ここで P_{max} は実験での最高荷重 $,L_0$ は載荷点から鋼 管の局部座屈発生位置点までの距離 ,Zは全塑性 モーメント , 、、は降伏応力 , t_0 は等価板厚、Eは ヤング率、n,は軸力比である.ただし,これらは コンクリートの影響を無視し 鋼管のみの値であ る.上式において,コン

クリート上面で鋼管の局

部座屈が発生した場合に

は,その個所の鋼管断面 についてパラメータを計 算する.一方,コンク リート充填部において鋼 管の局部座屈が発生した 場合には,等価板厚を計 算する必要がある.等価 板厚とは,鋼管の局部座 屈発生地点において,コ ンクリート充填鋼管の終 局曲げモーメントと,そ れと同じ直径を有する中 空鋼管の終局曲げモーメ ントを求め,両者の終局 曲げモーメントが一致す る時,中空鋼管の板厚を 等価板厚と呼ぶ .なお ,終

局曲げモーメントの求め 方については,紙面の都 合上省略する.このよう にして計算したパラメー

タを用いて,本実験結果と既往の実験結果を整理し たものを図-1に示す.なお図-1には,コンクリート 充填鋼管と無充填鋼管の結果が混在している.相関 係数は0.9915であり 本方法の妥当性が認められる.

5.最適充填率

本報告での最大耐力推定法を用いて,コンクリート 充填鋼管基部で局部座屈が発生する横力と,コンク リート上面で局部座屈が発生する横力とが等しくな るようなコンクリート充填率を求め,これを最適充 填率としている 本実験により得られた最適充填率

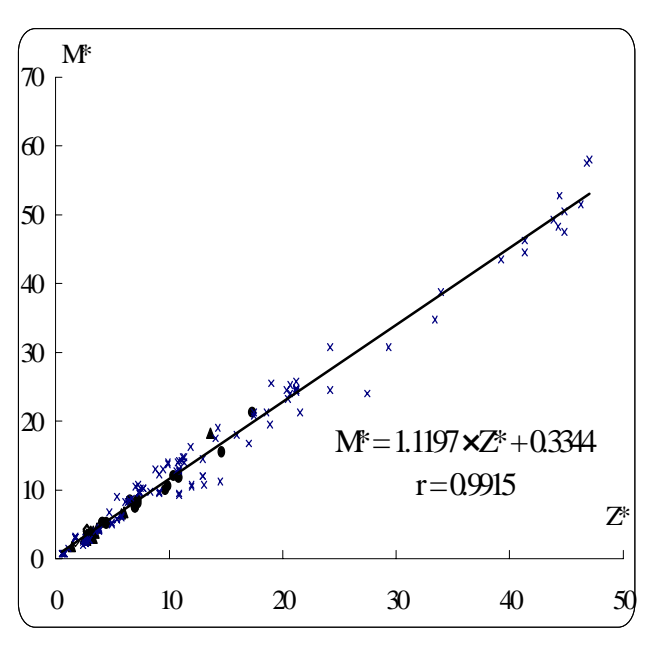


図-1 最大耐力の推定

表-1 実験結果と最適充填率

/++ ÷-+ /-+-		実験結果		等価板厚	最適充填率			
供試体 	最大耐力	最高変位	座屈発生	t_0	最適	最適 座屈発生位置		
No.	P _{max} (KN)	max(cm)	距離 (cm)	(cm)	充填率 (%)	実験	予想	
0-1	190	0.863	10	-	-	-	-	
1-1	158	1.447	22			니	上()	
1-2	173	1.948	10	0.550	22.3	下	下()	
1-3	182	2.023	10			卜	下()	
2-1	248	1.302	13			上	上()	
2-2	268	1.759	10	0.708	21.2	下	上(×)	
2-3	266	1.843				下	下()	
2-4	306	2.617				下	下()	
3-1	282	3.036	35	0.714	21.5	上	上()	
3-2	304	304 3.340 40		0.714	21.5	中	下(×)	
3-3	204	7.887	10	0.723	23.4	下	下()	
3-4	193	2.260	10			下	下()	
4-1	310	3.138	55	0.690	21.6	上	下(×)	
4-2	194	4.034	24	0.706	22.7	中	下(×)	
4-3	198	3.063	10	0.700	22.1	下	下()	

の結果を表 -1に示す.さらに,鋼管の座屈発生位置 を予想し,実験結果との比較も示した.これより,4 体を除く10体において、予想が正しいことがわかる. 6. 参考文献

1)岸・佐藤・小枝・小室・小野:第2回鋼構造物の非 線形数値解析と耐震設計の応用に関する論文集, 1998.

2) 森下·青木·鈴木: 構造工学論文集, Vol. 46A, 2000. 3)折野・井浦:第3回鋼構造物の非線形数値解析と耐 震設計の応用に関する論文集,2000.